



MC-1088.) Pizarras y esquistos grises del Ordovícico inferior (0 2)



MC-1092.) Filones de cuarzo en las pizarras y esquistos grises (0 n)



MC-1126.) Depósitos terciarios de  
Boimil ( $T_{c1-2}^B$ ).



MC-1116.) Depósitos aluviales ( $Q_2A1$ ).  
Llanura aluvial del río Ladroil.<sup>2</sup>

MC-1119. (COLUPTON (Q<sup>2</sup>C)).





MC-1120.) Coluvión (Q<sub>2</sub>C) sobre los depósitos terciarios.



MC-1039.) Olllo de Sapo de grano grüe-  
so (PCζ).





MC-1042.) Contacto rocas máficas ( $\Gamma$ )  
Serpentinitas ( $M\sigma(\Sigma)_1$ ). Martillo en  
el contacto. Dcha: Rocas máficas  
Izda: Talcoesquistos.





MC-1046.) Laminación flaser en el mi  
croconglomerado de la base (q) de --  
las pizarras y esquistos grises  
(O<sub>1</sub>P).



MC-1048.) Laminación flaser en el mi  
croconglomerado de la base (q) de --  
las pizarras y esquistos grises  
(O<sub>1</sub>p).



MC-1055.) Contacto granito de dos mi-  
cas ( $\gamma_{mb}^d$ ) "Olló de Sapo" de grano  
grueso (PC $\zeta$ ).



MC-1060.) Cuarzitas y areniscas (q)  
de la base del Ordovícico inferior


MC-1062.) "Olló de Sapo" de grano fi  
no (PC<sup>w</sup>).





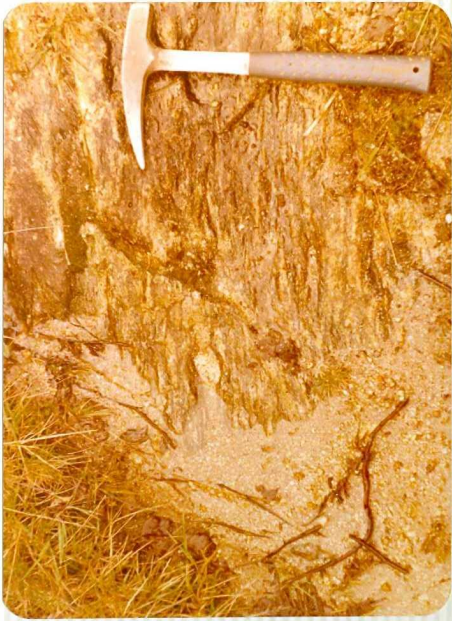
MC-1068.) "Ollo de Sapo" de grano --  
grueso (PCζ) migmatizado. Zona S del  
dominio.





MC-1069.) Idem a la anterior.





MC-1070.) Idem a la anterior.



MC-1071.) Esquistos de Ordenes  
(PC-CA).



MC-1088.) Pizarras y esquistos grises del Ordovícico inferior ( $O_1p$ ).



MC-1092.) Filones de cuarzo en las pizarras y esquistos grises ( $O_1p$ ).



MC-1093.) "Olló de Sapo" grano grueso (PC $\zeta$ ).



MC-1094.) Detalle de la anterior.



MC-1095.) Megacrystal de feldespato.  
"Ollito de Sapo" de grano grueso  
(PC<sub>2</sub>).





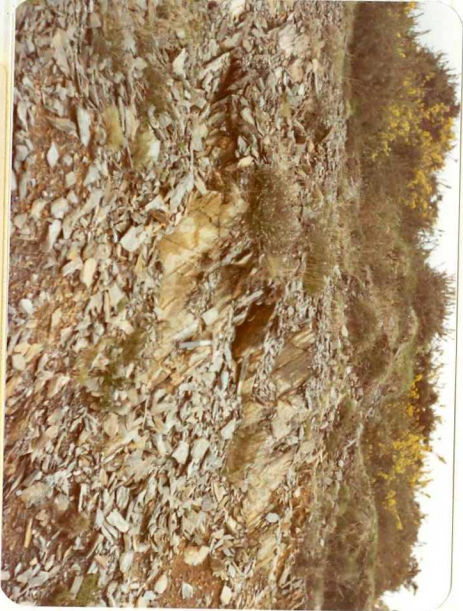
MC-1100.) "Ollo de Sapo" grano fino  
(PCw).



MC-1101.) Detalle de la anterior.



MC-1102.) Detalle de la anterior.



MC-1108.) Anfibolitas y esquistos an  
fibólicos ( $\xi A_1$ ), del borde externo  
de los complejos polimetamórficos.



MC-1112.) Cantera en las Peridotitas serpentinizadas ( $M\sigma\sigma(\Sigma)_2$ ) del borde externo de los complejos polimetamorficos.



MC-1113.) Cantera en las Peridotitas serpentinizadas ( $M\sigma\sigma(\Sigma)_1$ ) del centro del complejo polimetamórfico de Sobrado.



MC-1114.) Afloramiento terciario de Guitiriz (T). Cantera de Guitiriz.





MC-1121.) Nivel inferior de lignito.  
terciario de Orros ( $T_{c1-2}^B$ ).



MC-1122.) Terciario de Orros ( $T_{c1-2}^B$ )  
Se observan dos niveles de lignito.  
El superior marca el sinclinal suave  
que estan formando estos depósitos.





MC-1140.) Afloramiento de rocas má-  
ficas (Г), en facies granulita.



MC-1142.) Afloramiento de paraneises  
(PCξ).



MC-1145.) Afloramiento de las peridotitas serpentinizadas del borde externo de los complejos polimetamórficos ( $M\sigma(\Sigma)_2$ ).



MC-1146.) Metagabro ó anfibolita flaser (M0).





MC-1148.) Afloramiento de rocas má-  
ficas (Γ) en facies anfibolita